

УДК 539.3

ПОСТРОЕНИЕ ДИАГРАММ РАЗРУШЕНИЯ ДЛЯ ПЛАСТИН С ТРЕЩИНОПОДОБНЫМ ДЕФЕКТОМ С ИСПОЛЬЗОВАНИЕМ НЕОБХОДИМЫХ И ДОСТАТОЧНЫХ КРИТЕРИЕВ

М. М. Шакиртов, А. П. Шабанов, В. М. Корнев*

Сибирский государственный университет путей сообщения, 630082 Новосибирск

* Институт гидродинамики им. М. А. Лаврентьева СО РАН, 630090 Новосибирск

E-mails: legion-mpf@yandex.ru, shabanov@211.ru, kornev@hydro.nsc.ru

Рассмотрен процесс растяжения пластины с узким трещиноподобным разрезом, вершины которого образуют полуокружности конечного радиуса. Пластина изготовлена из структурированного материала, имеющего механические характеристики, близкие к характеристикам стали марки Ст.45. С использованием численного метода по необходимому и достаточному критериям построены диаграммы разрушения. Показана возможность аналитического представления диаграмм разрушения.

Ключевые слова: трещиноподобный разрез, диаграммы разрушения, пластические зоны.

Введение. Рассматривается процесс растяжения прямоугольной пластины, в которой имеется трещиноподобный дефект длиной $2l$. Материал пластины имеет регулярную структуру, причем характерный линейный размер r_0 структурного элемента (например, диаметр зерна) известен. В работе [1] с использованием подхода Нейбера — Новожилова [2, 3] и модифицированной модели Леонова — Панасюка — Дагдейла [4, 5] по необходимому и достаточному критериям построены диаграммы разрушения пластины. Для трещины нормального отрыва дискретно-интегральный критерий разрушения [1] имеет вид

$$\frac{1}{r_0} \int_0^{r_0} \sigma_y(x, 0) dx \leq \sigma_m, \quad x \geq 0; \quad (1)$$

$$2v(x, 0) \leq \delta_m^*, \quad -\Delta \leq x < 0. \quad (2)$$

Здесь $\sigma_y(x, 0)$ — нормальные напряжения на продолжении трещины; r_0 — характерный линейный размер элемента структуры материала, соизмеримый с диаметром зерна; Δ — длина зоны предразрушения, расположенной на продолжении реальной трещины; $2v(x, 0)$ — величина раскрытия трещины; $\delta_m^* = 2v(-\Delta^*, 0)$ — критическая величина раскрытия трещины.

Согласно [3] достаточный критерий разрушения (1), (2) включает два неравенства, первое из которых представляет собой силовой критерий разрушения, а второе — деформационный критерий разрушения. Эти критерии имеют преимущества и недостатки.

Работа выполнена при финансовой поддержке Российского фонда фундаментальных исследований (код проекта 10-08-00220).

© Шакиртов М. М., Шабанов А. П., Корнев В. М., 2013

Использование одновременно силового и деформационного критериев в соотношениях (1), (2) позволяет реализовать их преимущества.

Заметим, что в работе [1] диаграммы разрушения строились с существенными ограничениями: рассматривалась трещина-разрез с нулевым радиусом кривизны в вершине; диаграмма растяжения материала образца имела вид диаграммы Прандтля; рассматривались квазихрупкие материалы, деформация которых, соответствующая пределу прочности, превышает деформацию, соответствующую началу процесса текучести, не более чем в пять раз; пластина находилась в условиях плоского напряженного состояния.

Вместе с тем представляет интерес исследование аналогичных диаграмм разрушения, построенных с использованием необходимого и достаточного критериев, для упрочняющихся материалов, обладающих ярко выраженными пластическими свойствами. Следует отметить также, что если рассматривается материал со структурой, то реальная трещина отличается от математической трещины-разреза, так как начальный радиус кривизны в ее вершине не равен нулю [1].

Постановка задачи. Рассматривается прямоугольная пластина с размерами 200×100 мм, изготовленная из материала, механические характеристики которого близки к характеристикам стали марки Ст.45 [6]: условный предел текучести $\sigma_y = 355$ МПа, предел прочности $\sigma_b = 600$ МПа, модуль продольной упругости $E = 200$ ГПа, относительное удлинение при разрыве $\delta = 16$ %. Сталь нормализована в воздухе при температуре $T = 880$ °С, средний размер зерна (структурного элемента) $r_0 \approx 30$ мкм. В центре пластины имеется узкий вырез шириной 0,6 мм, расположенный таким образом, что исследуемый образец имеет две оси симметрии. Вершины выреза образуют полуокружность радиусом $\rho = 0,3$ мм, что на порядок превышает размер структурного элемента. Более длинная сторона выреза ориентирована вдоль более длинной стороны пластины. В ходе исследований длина этой стороны выреза $2l$ меняется от 10 до 190 мм. Образец нагружен по длинной стороне (перпендикулярно направлению разреза) растягивающими напряжениями σ_∞ . Задача формулируется следующим образом. Задается фиксированная полудлина разреза l . Образец нагружается внешней растягивающей нагрузкой σ_∞ . Рассматривается напряженно-деформированное состояние области образца, примыкающей к вершине разреза. Требуется определить внешнюю нагрузку σ_∞^0 , при которой структурный элемент на продолжении разреза полностью переходит в пластическое состояние. Кроме того, необходимо определить внешнюю нагрузку σ_∞^* , при которой этот структурный элемент должен разрушиться.

Построение расчетной модели. Задача решается численно с использованием метода конечных элементов. Так как пластина имеет две оси симметрии, в расчете использовалась схема, представленная на рис. 1. В области, примыкающей к вершине дефекта, на

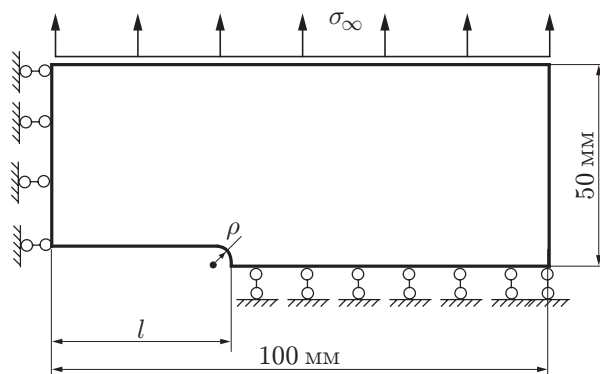


Рис. 1. Расчетная схема пластины

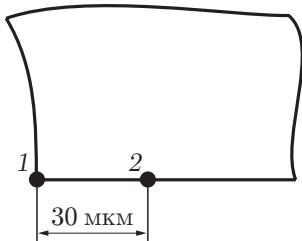


Рис. 2

Рис. 2. Положение границы структурного элемента в вершине разреза

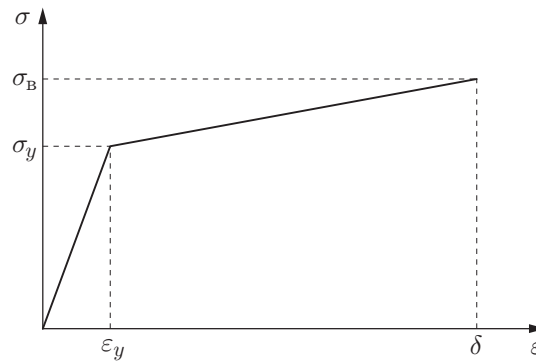


Рис. 3

Рис. 3. Идеализированная диаграмма растяжения материала

оси симметрии пластины имеется две точки (рис. 2), расстояние между которыми равно размеру структурного элемента (30 мкм). Диаграмма растяжения материала пластины моделировалась кусочно-линейной функцией (рис. 3). Тангенциальный модуль деформирования на участке упрочнения $E_1 = 1540$ МПа рассчитывался таким образом, чтобы в точке, соответствующей пределу прочности, относительная деформация была равна известному значению относительного удлинения при разрыве $\delta = 16\%$ для стали марки Ст.45. Коэффициент Пуассона принят равным 0,3.

Такая модель имеет ряд особенностей. Наличие узкого тонкого дефекта обуславливает значительную концентрацию напряжений в его вершине. Для исследования очень малой по сравнению с габаритными размерами образца области, примыкающей к вершине трещины, необходимо построить конечноэлементную сетку с существенно различающимися по величине элементами. Это, в свою очередь, может привести к появлению значительных погрешностей при определении напряженно-деформированного состояния рассматриваемой области модели.

Критерии оценки точности. Для оценки точности любого конечноэлементного расчета обычно используется известное теоретическое решение задачи, с помощью которого можно определить, например, напряжения в какой-либо точке образца. Затем задача решается численно, в результате чего в той же точке образца определяются напряжения, которые сравниваются с точным решением. Однако оценить таким образом точность решения упругопластической задачи достаточно сложно, поскольку ее точного решения, как правило, не существует. Однако имеется формула, полученная Г. Нейбером [7] для случая антиплоского сдвига прямоугольной полосы с эллиптическим боковым вырезом. Следует отметить, что диаграмма растяжения материала пластины является нелинейной. Формула Нейбера связывает коэффициенты концентрации при линейном и нелинейном деформировании образца с концентраторами:

$$k_e^2 = k_\sigma k_\varepsilon. \quad (3)$$

Здесь k_e — коэффициент концентрации напряжений при линейно-упругом деформировании материала образца; k_σ , k_ε — коэффициенты концентрации соответственно для напряжений и деформаций при нелинейно-упругом деформировании материала.

Соотношение (3) получено для конкретной задачи. Вопрос о возможности обобщения этого соотношения на весь класс нелинейных упругих задач, а главное на случай упругопластического деформирования, возник после опубликования работы [7] и до сих

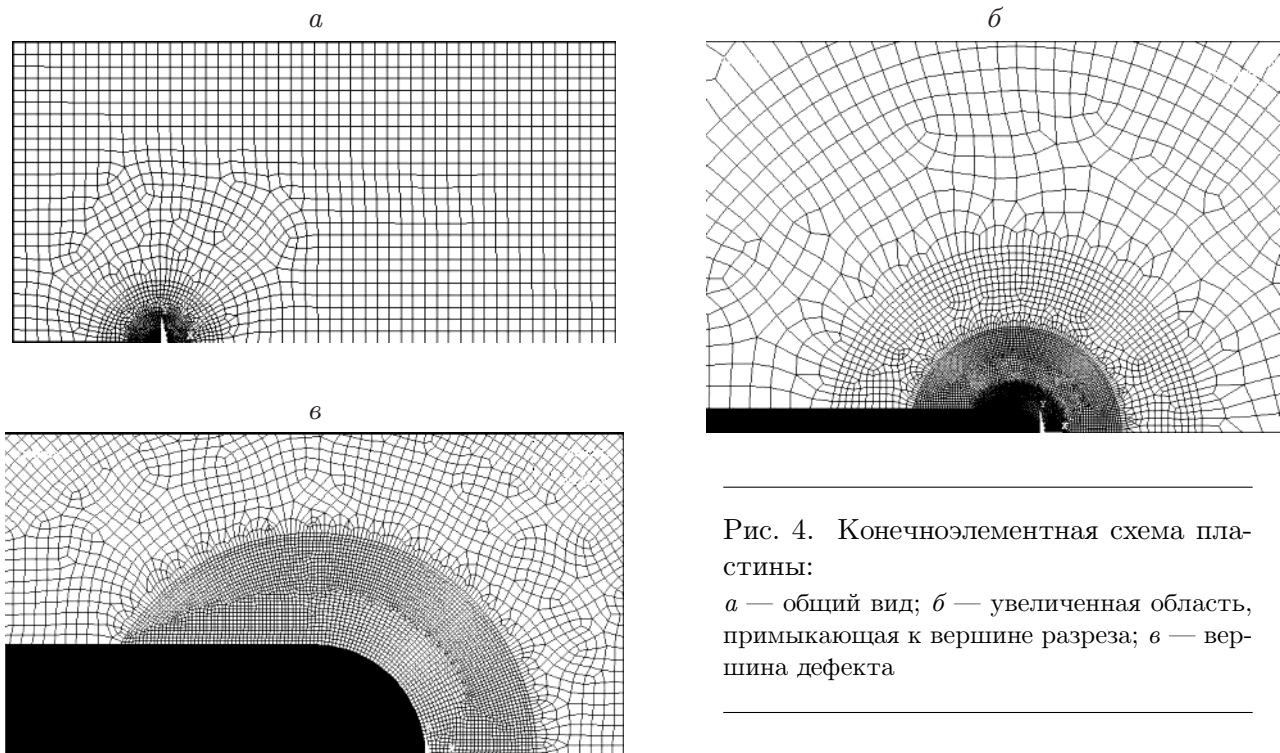


Рис. 4. Конечноэлементная схема пластины:
a — общий вид; *б* — увеличенная область, примыкающая к вершине разреза; *в* — вершина дефекта

пор обсуждается [8]. Вместе с тем экспериментальное исследование процесса растяжения прямоугольной пластины из алюминиевого сплава Д16Т с круглым отверстием при упругопластическом деформировании показало, что соотношение (3) выполняется достаточно точно [9, 10].

Построение конечноэлементной сетки. В ходе исследований анализ напряженно-деформированного состояния проводится в очень малой области, примыкающей к вершине дефекта. Это обстоятельство обуславливает необходимость построения конечноэлементной модели, в которой размеры элементов в разных областях образца должны различаться на несколько порядков. Использовался прием создания вложенных областей, внутри каждой из которых размер конечного элемента уменьшался приблизительно в два раза (рис. 4). Область образца, примыкающая к вершине, разбивалась по концентрическим окружностям, в результате чего было получено пять областей локализации со своими размерами конечного элемента. Вдоль контура вершины дефекта располагалось приблизительно 50 элементов размером порядка 0,01 мм. Такой способ построения модели позволяет с приемлемой точностью получать поля упругопластических напряжений и деформаций в областях, примыкающих к вершине разреза. Задача решалась с учетом возможности появления больших упругопластических деформаций в предположении, что образец находится в условиях плоского напряженного состояния.

Результаты расчета. В ходе численной реализации для каждого размера трещиноподобного дефекта l определена внешняя нагрузка σ_{∞}^0 , при достижении которой структурный элемент (зерно), расположенный в вершине этого дефекта, полностью переходит в пластическое состояние. Кроме того, определялась величина внешней нагрузки σ_{∞}^* , при достижении которой рассматриваемый структурный элемент разрушается. Для этого подбирались эквивалентные деформации, так чтобы в точке 2 (см. рис. 2) они были равны относительному удлинению образца при разрыве δ . Кроме того, на продолжении дефекта фиксировалась длина пластической зоны l_p в тот момент, когда на границе структурного

Результаты расчетов предельных напряжений и длины пластической зоны

| l , мм | σ_{∞}^0 , МПа | σ_{∞}^* , МПа | l_p , мм | e , % | $\sigma_{\infty}^0/\sigma_y$ | $\sigma_{\infty}^*/\sigma_y$ |
|----------|---------------------------|---------------------------|------------|---------|------------------------------|------------------------------|
| 5 | 47 | 334 | — | 32,70 | 0,1324 | 0,9408 |
| 10 | 35 | 292 | 4,60 | 17,45 | 0,0986 | 0,8225 |
| 15 | 25 | 255 | 5,40 | 10,55 | 0,0704 | 0,7183 |
| 20 | 20 | 220 | 7,30 | 7,05 | 0,0563 | 0,6197 |
| 25 | 17 | 190 | 10,00 | 5,50 | 0,0479 | 0,5352 |
| 30 | 15 | 162 | 11,50 | 4,55 | 0,0423 | 0,4563 |
| 35 | 12 | 139 | 12,40 | 3,20 | 0,0338 | 0,3915 |
| 40 | 11 | 120 | 12,10 | 3,85 | 0,0310 | 0,3380 |
| 45 | 9 | 104 | 12,10 | 3,45 | 0,0254 | 0,2923 |
| 50 | 7,7 | 90 | 11,70 | 5,20 | 0,0217 | 0,2535 |
| 55 | 8 | 77 | 11,20 | 5,40 | 0,0225 | 0,2169 |
| 60 | 6 | 66 | 10,60 | 4,30 | 0,0169 | 0,1859 |
| 65 | 4,95 | 58 | 10,57 | 4,35 | 0,0149 | 0,1633 |
| 70 | 4,25 | 50 | 10,00 | 8,35 | 0,0120 | 0,1408 |
| 75 | 4 | 44 | 9,40 | 15,60 | 0,0113 | 0,1239 |
| 80 | 3,5 | 39 | 8,77 | 25,80 | 0,0099 | 0,1099 |
| 85 | 3 | 35 | 7,89 | 39,10 | 0,0085 | 0,0987 |
| 90 | 2,6 | 31 | 6,70 | 55,00 | 0,0073 | 0,0873 |
| 95 | 2,25 | 19 | 4,10 | 68,80 | 0,0063 | 0,0535 |

элемента (в точке 2 на рис. 2) эквивалентные напряжения становились равными пределу прочности. Результаты расчетов представлены в таблице. Там же указана средняя погрешность e определения значений σ_{∞}^0 и σ_{∞}^* , вычисленная с использованием формулы (3). Следует отметить, что при малых и больших значениях полудлины дефекта погрешность имеет неприемлемо большие значения. Это обстоятельство может быть объяснено тем, что соотношение (3) получено для бесконечной полосы с эллиптическим отверстием. Однако при малых значениях длин дефекта форма этого отверстия существенно отличается от эллиптической, а при больших длинах значительное влияние оказывает край образца [11].

На рис. 5 в декартовых и логарифмических координатах представлены зависимости предельных напряжений от полудлины разреза. Следует отметить, что в логарифмических координатах точки на диаграммах $\sigma_{\infty}^0/\sigma_y$ и $\sigma_{\infty}^*/\sigma_y$, соответствующие одной и той же полудлине дефекта, находятся на одинаковых расстояниях друг от друга. Построенные диаграммы разрушения образца с трещиноподобным дефектом могут быть использованы при исследовании зарождения трещины, обусловленного концентрацией напряжений при циклическом нагружении (см. [12]), когда в зоне предразрушения (пластичности) происходит охрупчивание материала.

На рис. 6 представлена зависимость длины пластической зоны на линии продолжения трещиновидного дефекта от его полудлины. Заметим, что эта зависимость имеет четко выраженный экстремум. На рис. 7 показаны границы пластических зон, построенных при достижении в точке 2 (см. рис. 2) напряжений, равных пределу прочности, в случае если длины дефектов равны 25 и 70 мм (что соответствует значениям l на рис. 6 до и после экстремума). Следует отметить, что в случае коротких разрезов форма пластической зоны соответствует плоской деформации, а в случае длинных — плоскому напряженному состоянию [13], несмотря на то что все расчеты проводились для образца, находящегося в плоском напряженном состоянии.

Аналитическое представление диаграмм разрушения. Как отмечено выше, диаграммы, построенные в логарифмических координатах для разреза с радиусом кривизны в его вершине, равным 300 мкм, имеют вид кривых, расположенных на одинаковых

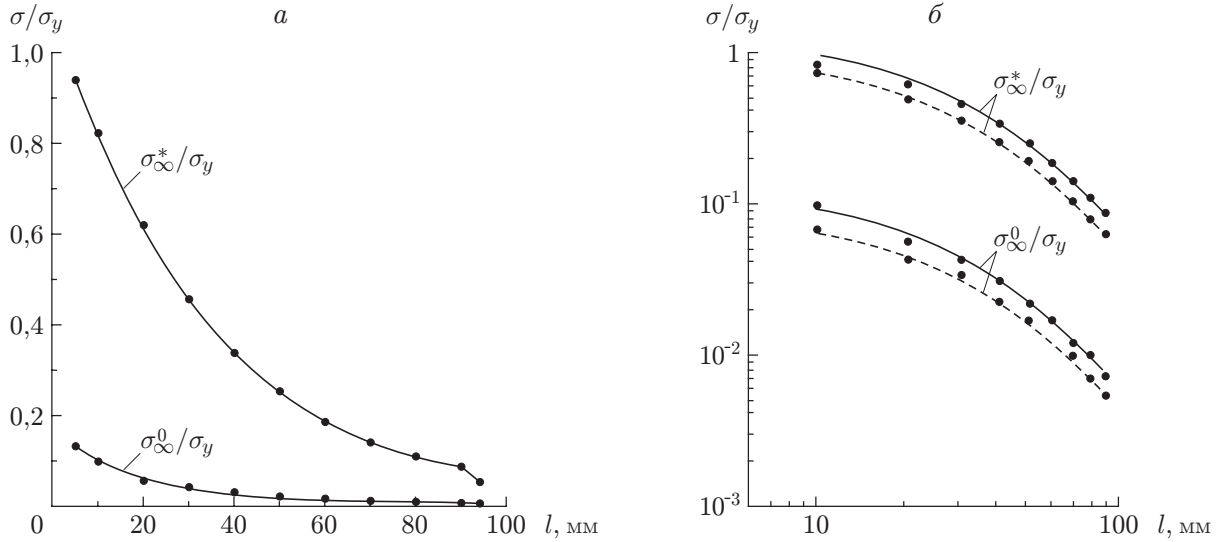


Рис. 5. Диаграммы разрушения образцов из стали марки Ст.45, имеющих разрез различного радиуса:

a — построение в декартовых координатах ($\rho = 300$ мкм); *б* — построение в двойных логарифмических координатах (сплошные линии — $\rho = 300$ мкм, штриховые — $\rho = 100$ мкм, точки — результаты расчетов)

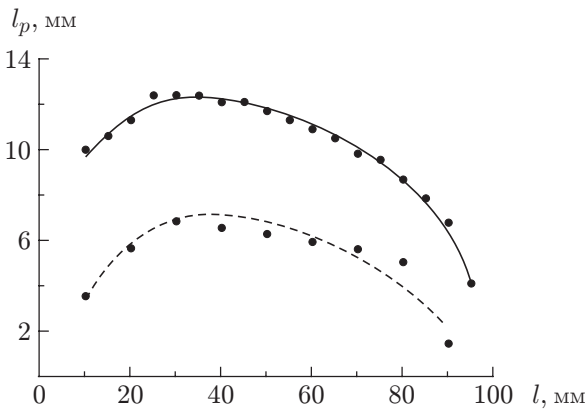


Рис. 6

Рис. 6. Изменение длины пластической зоны в момент разрушения первого структурного элемента:

сплошная линия — $\rho = 300$ мкм, штриховая — $\rho = 100$ мкм, точки — результаты расчетов

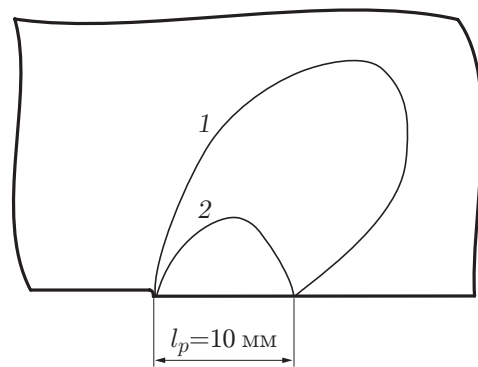


Рис. 7

Рис. 7. Формы пластических зон при достижении в структурном элементе напряжений, равных пределу прочности, для различных длин разреза ($\rho = 300$ мкм):

1 — $l = 25$ мм, 2 — $l = 70$ мм

расстояниях друг от друга (сплошные линии на рис. 5,б). Численно получены аналогичные диаграммы для разреза с радиусом кривизны в его вершине, равным 100 мкм (штриховые линии на рис. 5,б). Оказалось, что расстояние между штриховыми линиями приблизительно равно расстоянию между сплошными линиями. Следовательно, отношение функций $\sigma_{\infty}^*(l, \rho)/\sigma_{\infty}^0(l, \rho)$ не зависит от длины разреза и радиуса кривизны в его вершине, а определяется только механическими постоянными материала.

Рассмотрим образец, выполненный из неструктурированного однородного материала. Напомним, что напряжение $\sigma_{\infty}^0(l, \rho)$ действует в невозмущенной части образца, при этом напряжения в вершине дефекта (точка 1 на рис. 2) должны быть равны пределу текучести σ_y . Так как в этом случае материал в любой точке образца деформируется по линейному закону, выражение для коэффициента концентрации напряжений можно записать в виде [2]

$$\sigma_y/\sigma_{\infty}^0(l, \rho) = 1 + 2\sqrt{l/\rho}. \quad (4)$$

Из (4) получаем зависимость

$$\sigma_{\infty}^0(l, \rho) = \sigma_y/(1 + 2\sqrt{l/\rho}). \quad (5)$$

В случае длинных узких разрезов $\rho \ll l$ равенство (5) принимает вид

$$\sigma_{\infty}^0(l, \rho) = \sigma_y\sqrt{\rho/l}/2. \quad (6)$$

В то же время при определении значения напряжений $\sigma_{\infty}^*(l, \rho)$ напряжения в вершине дефекта должны быть равны пределу прочности σ_B (см. рис. 3). Однако поскольку в этом случае материал находится в упругопластическом состоянии, используем формулу (3). При этом выражение для коэффициента концентрации напряжений в предположении, что материал деформируется упруго, может быть представлено в виде

$$k_e = \sqrt{k_{\sigma}k_{\varepsilon}} = 1 + 2\sqrt{l/\rho},$$

где $k_{\sigma} = \sigma_B/\sigma_{\infty}^*(l, \rho)$; $k_{\varepsilon} = \delta/\varepsilon_{\infty}^*$; ε_{∞}^* — деформация, которую испытывает материал в невозмущенной части образца; δ — относительное удлинение при разрыве. Учитывая, что на бесконечности материал деформируется упруго, получаем $\sigma_{\infty}^*(l, \rho) = E\varepsilon_{\infty}^*$. Тогда равенство (3) можно преобразовать:

$$(1 + 2\sqrt{l/\rho})^2 = E\sigma_B\delta/(\sigma_{\infty}^*(l, \rho))^2. \quad (7)$$

Сравнивая соотношения (4) и (7), получаем

$$\varkappa = \sigma_{\infty}^*(l, \rho)/\sigma_{\infty}^0(l, \rho) = \sqrt{E\sigma_B\delta}/\sigma_y. \quad (8)$$

Если рассматривается идеально пластичный материал, диаграмма деформирования которого имеет вид диаграммы Прандтля, то равенство (8) принимает вид

$$\varkappa = \sigma_{\infty}^*(l, \rho)/\sigma_{\infty}^0(l, \rho) = \sqrt{\delta/\varepsilon_y}, \quad (9)$$

где ε_y — деформация, соответствующая пределу текучести.

Таким образом, отношение величин $\sigma_{\infty}^0(l, \rho)$ и $\sigma_{\infty}^*(l, \rho)$ на диаграммах разрушения, построенных с использованием необходимого и достаточного критериев, не зависит от геометрии дефекта, а определяется только значениями упругих постоянных, которые приводятся в справочниках. В качестве проверки полученных результатов рассмотрим пластину с размерами 200 × 100 мм, изготовленную из материала, имеющего следующие характеристики: $\delta = 16\%$, $\sigma_y = 355$ МПа, $\sigma_B = 600$ МПа, $E = 200$ ГПа. В пластине имеется разрез длиной $2l = 60$ мм с радиусом кривизны в вершине $\rho = 100$ мкм. Для этого образца

вычислены значения $\sigma_{\infty}^0 = 6,82$ МПа, $\sigma_{\infty}^* = 90$ МПа. В этом случае $\sigma_{\infty}^*/\sigma_{\infty}^0 = 13,196$. Из формулы (8) следует $\varkappa = 12,343$. Таким образом, различие этих двух значений составляет 6,88 %, что соответствует погрешности конечноэлементного расчета упругопластической задачи (см. таблицу).

Следовательно, для построения диаграммы разрушения с использованием необходимого критерия нужно вычислить значения предела текучести и радиуса кривизны в вершине разреза, а затем по формуле (5) или (6) определить вид функции $\sigma_{\infty}^0 = \sigma_{\infty}^0(l, \rho_1)$. В случае если известны механические характеристики материала образца и вид диаграммы $\sigma_{\infty}^0 = \sigma_{\infty}^0(l, \rho_1)$, диаграмма разрушения строится с помощью формулы (8) или (9): $\sigma_{\infty}^*(l, \rho_1) = \varkappa \sigma_{\infty}^0(l, \rho_1)$.

ЛИТЕРАТУРА

1. **Корнев В. М.** Оценочная диаграмма квазихрупкого разрушения тел с иерархией структур. Многомасштабные необходимые и достаточные критерии разрушения // Физ. мезомеханика. 2010. Т. 13, № 1. С. 47–59.
2. **Neuber G.** Kerbspannunglehre: Grunlagen fur Genaue Spannungsrechnung. Berlin: Springer-Verlag, 1937.
3. **Новожилов В. В.** О необходимом и достаточном критерии хрупкой прочности // Прикл. математика и механика. 1969. Т. 33, вып. 2. С. 212–222.
4. **Леонов М. Я., Панасюк В. В.** Развитие мельчайших трещин в твердом теле // Прикл. механика. 1959. Т. 5, № 4. С. 391–401.
5. **Dugdale D. S.** Yielding of steel sheets containing slits // J. Mech. Phys. Solids. 1960. V. 8. P. 100–104.
6. **Зубченко А. С.** Марочник сталей и сплавов. 2-е изд., доп. и испр. / А. С. Зубченко, М. М. Колосков, Ю. В. Каширский и др. М.: Машиностроение, 2003.
7. **Нейбер Г.** Теория концентрации напряжений в призматических стержнях, работающих в условиях сдвига, для любого нелинейного закона, связывающего напряжения и деформации // Механика: Сб. переводов. 1961. № 4. С. 117–130.
8. **Вейс В.** Анализ разрушения в условиях концентрации напряжений // Разрушение. М.: Мир, 1976. Т. 3. С. 263–302.
9. **Ахметзянов М. Х.** Исследование концентрации напряжений в пластической области при помощи фотоупругих покрытий // Изв. АН СССР. Отд.-ние техн. наук. Механика и машиностроение. 1963. № 1. С. 159–162.
10. **Александров А. Я.** Поляризациино-оптические методы механики деформируемого тела / А. Я. Александров, М. Х. Ахметзянов. М.: Наука, 1973.
11. **Корнев В. М., Демешкин А. Г.** Диаграмма квазихрупкого разрушения тел со структурой при наличии краевых трещин // ПМТФ. 2011. Т. 52, № 6. С. 152–164.
12. **Корнев В. М.** Диаграммы квазихрупкого разрушения тел с иерархией структур при малоцикловом нагружении // Физ. мезомеханика. 2011. Т. 14, № 5. С. 31–45.
13. **Партон В. З.** Механика упругопластического разрушения / В. З. Партон, Е. М. Морозов. М.: Наука, 1985.

Поступила в редакцию 11/IV 2012 г.